

یک الگوریتم تصویرافاین سریع بر پایه پیگیری تطبیقی با تنظیم قسمتی از بردار پارامترها

محمد شمس اسفندآبادی^۱؛ علی محلوچی فر^۲؛ محمدباقر منهاج^۳؛ سیدعارف هادی^۴

چکیده

فیلترهای سازگار از ابزارهای مهم در بسیاری از کاربردهای پردازش سیگنال‌های دیجیتال به شمار می‌روند. در این مقاله، الگوریتم جدیدی با نام *الگوریتم تصویرافاین سریع* برای فیلترهای سازگار؛ که مبتنی بر پیگیری تطبیقی کار می‌کند، ارائه شده است. در این الگوریتم در هر تکرار، یکی از ضرایب فیلتر به صورت بهینه انتخاب و اصلاح می‌شود. یکی دیگر از مشخصه‌های این الگوریتم آن است که در هر لحظه می‌توان تعداد تکرار پیگیری تطبیقی را یک بار یا بیشتر اجرا کرد. بنابراین می‌توان بین سرعت همگرایی و پیچیدگی محاسبات تعادل مناسبی برقرار کرد. همچنین عملکرد الگوریتم ارائه شده در حالت گذرا و ماندگار، بر پایه رابطه بقای انرژی در فیلترهای سازگار، بررسی شد و یک رابطه جامع برای متوسط مربع خطا در حالت ماندگار استخراج گردید. نتایج شبیه سازی روی شناسایی سیستم نشان می‌دهد که این روش نسبت به الگوریتم‌های کلاسیک فیلترهای سازگار، عملکرد مطلوبی از نظر سرعت همگرایی و همچنین متوسط مربع خطای حالت ماندگار دارد.

کلمات کلیدی

فیلتر سازگار، پیگیری تطبیقی، رابطه بقای انرژی، شناسایی سیستم، سرعت همگرایی، پیچیدگی محاسبات، متوسط مربع خطای حالت ماندگار.

A Fast Affine Projection Algorithm Based on Matching Pursuit with Partial Parameters Adjustment

Mohammad Shams Esfand Abadi; Ali Mahlooji Far; Mohammad Bagher Menhaj; Sayed Aref Hadei

ABSTRACT

Adaptive filtering is an indispensable tool in a large number of signal processing applications. In this paper, a new adaptive filtering algorithm named *fast affine projection algorithm* based on matching pursuits (MP) is presented. In this algorithm, one of the filter coefficients is suitably selected and updated iteratively. Another characteristic of the proposed algorithm is employing one or more MP-iterations at each time instant, in order to fulfill a suitable tradeoff between convergence rate and computational complexity. The Performance of the proposed algorithm is fully studied through the energy conservation analysis used in adaptive filters and a general expression for the steady-state mean square error is derived. The simulation results highlight better the out-performance of the proposed algorithm in terms of both convergence rate and steady-state mean square error.

KEYWORDS

Adaptive filter, Matching pursuit, Energy conservation, System identification, Convergence rate, Computational complexity, Steady-state mean square error.

^۱ دانشجوی دکتری دانشگاه تربیت مدرس؛ بخش برق؛ گروه مهندسی پزشکی

^۲ استادیار دانشگاه تربیت مدرس؛ بخش برق؛ گروه مهندسی پزشکی

^۳ استاد دانشگاه صنعتی امیرکبیر؛ بخش برق؛ گروه کنترل

^۴ دانشجوی کارشناسی دانشگاه شهید رجایی؛ بخش برق؛ گروه قدرت

همبستگی متقابل^{۱۸} با مقادیر لحظه‌ای در الگوریتم تندترین شیب جایگزین می‌شوند. از ویژگی‌های مهم این الگوریتم پیچیدگی محاسباتی^{۱۹} (حجم محاسباتی) پایین آن است؛ اما سرعت پایین همگرایی^{۲۰} این الگوریتم، بویژه هنگامی که سیگنال ورودی رنگی باشد، از جمله مشکلات این الگوریتم است. برای کاهش این مشکل، فیلتر NLMS را Nagoma و Noda [۸] و Albert و Gardner [۹] به طور مستقل پیشنهاد کردند؛ گرچه به نظر می‌رسد اصطلاحات واقعی NLMS به Bitmead و Anderson [۱۰] برمی‌گردد. در الگوریتم NLMS از الگوریتم نیوتن استفاده شده است و مانند الگوریتم LMS، مقادیر واقعی ماتریس خود همبستگی و بردار همبستگی متقابل با مقادیر لحظه‌ای جایگزین می‌شوند. اگرچه الگوریتم NLMS نسبت به LMS سرعت همگرایی بالاتر دارد؛ اما پیچیدگی محاسباتی بالاتری نیز دارد. گرچه LMS و NLMS به علت سادگی محاسبات، کاربرد وسیعی دارند؛ اما هنگامی که سیگنال ورودی رنگی باشد، این الگوریتم‌ها سرعت همگرایی پایینی خواهند داشت. برای رفع این مشکل Ozeki و Umeda [۱۱] الگوریتم AP را پیشنهاد دادند. در این الگوریتم مشخصه‌های آماری سیگنال با تقریب‌های بهتری جایگزین می‌شوند. با وجود اینکه این عمل باعث افزایش سرعت همگرایی خواهد شد، اما پیچیدگی محاسباتی را بالا خواهد برد. برای رفع این مشکل انواع مختلف APA پیشنهاد شدند؛ مانند Partial-Rank Algorithm (PRA) به وسیله Kratzer و Morgan [۱۲] و Binormalized Data-Reusing LMS به وسیله Campos و Diniz [۱۳]، [۱۴]. آخرین و کامل‌ترین بررسی و مطالعه روی خانواده APA را Shin و Sayed انجام داده‌اند [۱۵]، [۱۶]. در بین الگوریتم‌های فیلترهای سازگار، الگوریتم حداقل مربعات بازگشتی بالاترین سرعت همگرایی را دارد. اگر چه در این الگوریتم از تقریب‌های دقیق‌تری برای ماتریس خودهمبستگی و بردار همبستگی متقابل استفاده می‌شود؛ اما یکی از مشکلات این الگوریتم پیچیدگی محاسباتی بالای آن است. استفاده از الگوریتمی که عملکرد قابل‌مقایسه‌ای با الگوریتم حداقل مربعات بازگشتی و همچنین پیچیدگی محاسباتی پایین‌تری نسبت به الگوریتم حداقل مربعات بازگشتی داشته باشد، می‌تواند بسیار مفید باشد. در این مقاله الگوریتم جدیدی برای فیلترهای سازگار با نام الگوریتم تصویرافاین سریع ارائه می‌شود. این الگوریتم مبتنی بر پیگیری تطبیقی^{۲۱} [۱۷] - [۲۱] است؛ به طوری که در هر تکرار، یکی از ضرایب فیلتر به صورت بهینه انتخاب و اصلاح می‌شود. یکی دیگر از مشخصه‌های این الگوریتم آن است که در هر لحظه می‌توان تعداد تکرار پیگیری تطبیقی را یک بار یا بیشتر انجام داد؛ بنابراین می‌توان بین سرعت همگرایی و پیچیدگی محاسبات تعادل مناسبی را برقرار کرد. الگوریتم ارائه

از فیلترهای سازگار^۱ نزدیک به چهار دهه است که به عنوان یک ابزار ضروری در بسیاری از کاربردهای پردازش سیگنال استفاده می‌شود، به طوری که هم اکنون نیز یکی از روشهای تکامل یافته در زمینه پردازش سیگنال‌های دیجیتال از نظر پایه‌های تئوری است. کاربردهایی نظیر ترازگرکانال^۲، حذف اکو^۳، حذف نویز^۴، بهبود سیگنال^۵، شناسایی سیستم^۶، و پیش‌بینی کننده خطی^۷ نمونه‌هایی از تنوع کاربرد فیلترهای سازگار هستند. فیلترسازگار یک وسیله محاسباتی است که به صورت یک الگوریتم تکراری، برای مدل کردن رابطه بین دو سیگنال در زمان واقعی^۸ تلاش می‌کند. در طول چهل سال گذشته الگوریتم‌های متعددی برای فیلترهای سازگار پیشنهاد شده‌اند که در بین آنها الگوریتم حداقل میانگین مربعات^۹، حداقل میانگین مربعات نرمالیزه شده^{۱۰}، حداقل مربعات بازگشتی^{۱۱}، و الگوریتم‌های تصویرافاین^{۱۲} جزو مهم‌ترین و مشهورترین الگوریتم‌ها محسوب می‌شوند [۱] - [۶]. فیلترهای سازگار با یک الگوریتم تکراری سعی در حل معادله وینر-هاف^{۱۳} دارند. این الگوریتم‌ها بر پایه روش‌های با شیب تصادفی^{۱۴} عمل می‌کنند. در این روش‌ها با جایگزینی تقریب‌های مناسب در الگوریتم‌های تندترین شیب^{۱۵}، الگوریتم‌های متنوعی با درجات محاسباتی و خواص عملکردی مختلف محقق می‌شوند.

الگوریتم‌های با شیب تصادفی حداقل دو مزیت دارند:

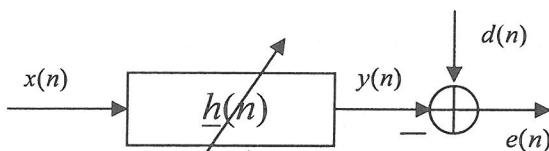
- ۱- به مشخصه‌های واقعی آماری سیگنال^{۱۶}؛ که در الگوریتم تندترین شیب مورد نیاز است، نیازی نخواهد بود و در عمل نیز این مقادیر بندرت وجود خواهند داشت. روشهای با شیب تصادفی دارای مکانیزم یادگیری هستند؛ به طوری که آنها را قادر به تخمین مشخصه‌های آماری مورد نیاز قادر می‌سازد.
 - ۲- این روش‌ها مکانیزم ردیابی دارند که آنها را در ردیابی تغییرات در مشخصه‌های آماری سیگنال توانمند می‌کند. ترکیب دو توانایی یادگیری و ردیابی، دلایل اصلی گسترش استفاده از روشهای با شیب تصادفی (و در ادامه فیلترهای سازگار) است.
- الگوریتم حداقل میانگین مربعات از جنبه‌های مختلف به عنوان منشأ تئوری فیلترهای سازگار شناخته می‌شود. این الگوریتم را Widrow و Hoff در سال ۱۹۶۰ پیشنهاد کردند [۷]. تعداد کمی از الگوریتم‌ها از نظر تئوری‌های فیلترینگ و تخمین تا این حد موفقیت و گسترش همه‌جانبه پیدا کرده‌اند. در الگوریتم LMS مقادیر واقعی ماتریس خود همبستگی^{۱۷} و بردار

جدول (۱): عملگرهای ریاضی استفاده شده در طول مقاله

$\ \cdot\ $	اندازه یک عدداسکالر
$\ \cdot\ $	اندازه اقلیدسی یک بردار
$\ \cdot\ _2^2$	اندازه اقلیدسی وزندار یک بردارستونی که بصورت $\sum \ell^T \ell$ تعریف می شود.
$Tr(\cdot)$	مجموع عناصرروی قطراسلی یک ماتریس
$(\cdot)^T$	ترانهاده یک بردار یا ماتریس
$E\{\cdot\}$	امیدریاضی
$A \otimes B$	ضرب کرونکر ماتریسهای A و B .
$\langle \cdot, \cdot \rangle$	ضرب داخلی دو بردار
$vec(T)$	تبدیل ماتریس T با اندازه $M \times M$ به یک بردارستونی ℓ با اندازه $M^2 \times 1$ ، با قراردادن پشت سر هم ستونهای ماتریس T
$vec(\ell)$	تبدیل یک بردارستونی ℓ با اندازه $M^2 \times 1$ به یک ماتریس T با اندازه $M \times M$.

۲- مسأله فیلترهای سازگار

بسیاری از مسائل پردازش سیگنال که در کاربردهای مختلف با آنها روبرو هستیم می توانند در قالب شکل (۱) بیان شوند. نمونه‌ای از چنین کاربردی در شناسایی سیستم، پیش بینی کننده خطی، و حذف اکو می باشد. در این شکل $x(n)$ نمونه سیگنال ورودی در زمان لحظه‌ای n ، $h(n)$ ضرایب فیلتر، $y(n)$ خروجی فیلتر، $d(n)$ نمونه سیگنال مطلوب و $e(n)$ خطای خروجی می باشد.



شکل (۱): ساختار کلی یک فیلتر سازگار

فیلتر با ضرایب h ؛ که $E\{e^2(n)\}$ را در محیط ایستاد حداقل می کند، فیلتر وینر نامیده می شود. در فیلترهای متغیر با زمان به ضرایب فیلتر h اجازه داده می شود تا با زمان تغییر کنند که به تحقق فیلترهای سازگار منجر می شود. ضرایب فیلتر را به صورت بردار $h(n)$ با اندازه $M \times 1$ نشان می دهیم، به طوری که n منطبق بر زمان لحظه‌ای نمونه سیگنال ورودی $x(n)$ است. با توجه به شکل (۱)، هدف هر فیلتر سازگار، تخمین سیگنال مطلوب $d(n)$ با استفاده از فیلتر متغیر با زمان $x(n)$ روی سیگنال ورودی $h(n) = [h_0(n), h_1(n), \dots, h_{M-1}(n)]^T$ است. در فیلترهای سازگار کلاسیک نظیر حداقل میانگین مربعات، حداقل میانگین مربعات نرمالیزه شده، حداقل مربعات بازگشتی و الگوریتم تصویرافاین، در هر تکرار، تمامی وزن ها اصلاح می شوند؛ اما در الگوریتم ارائه شده در قسمت بعد، یکی از

شده عملکرد قابل مقایسه ای با الگوریتم حداقل مربعات بازگشتی دارد و از نظر محاسباتی نسبت به این الگوریتم ساده تر است. موفقیت فیلترهای سازگار در مکانیزم یادگیری، با بررسی عملکرد فیلتر در حالت ماندگار و گذرا بررسی می شود. بررسی عملکرد حالت ماندگار نشان می دهد که یک فیلتر سازگار چگونه مشخصه های آماری سیگنال را در زمان کافی یاد می گیرد. بررسی عملکرد حالت گذرا نشان می دهد که یک فیلتر سازگار با چه سرعتی به تغییرات در خواص آماری سیگنال تنظیم می شود. به همین دلیل، مطالعه عملکرد فیلترهای سازگار در حالت ماندگار و همچنین حالت گذرا، بسیار مهم و اساسی است. در میان روش های بررسی عملکرد فیلترهای سازگار، استفاده از رابطه بقای انرژی، در مقایسه با دیگر روشها دارای دقت مناسبی است. رابطه بقای انرژی را ابتدا Sayed و Rupp [۲۲]، [۲۳] ارائه کردند. آنها نشان دادند که چگونه رابطه بقای انرژی می تواند برای مطالعه عملکرد متوسط مربع خطای ماندگار استفاده شود. در مقاله های ارائه شده توسط Yousef و Sayed [۲۴] - [۲۶]، رابطه واریانس از رابطه بقای انرژی استخراج شد. عملکرد الگوریتم حداقل میانگین مربعات نرمالیزه شده به وسیله رابطه بقای انرژی را نیز Naffouri و Sayed انجام دادند [۲۷]. مقاله اخیر Shin و Sayed نیز، عملکرد حالت ماندگار خانواده APA را با استفاده از رابطه بقای انرژی بررسی می کند [۱۵]، [۱۶]. همچنین Husoy و Abadi یک قالب واحد برای بررسی عملکرد گذرای فیلترهای سازگار بر پایه رابطه بقای انرژی ارائه دادند [۲۸]. در این روش، نیاز به فرض یک مدل خاص در سیگنال ورودی؛ که یکی از ایرادات روش های گذشته بود، رفع می شود. بررسی عملکرد الگوریتم ارائه شده در این مقاله نیز در حالت ماندگار و گذرا بر پایه رابطه بقای انرژی است.

در قسمت بعدی این مقاله، پس از بیان مسأله فیلترهای سازگار، الگوریتم تصویرافاین سریع ارائه و محاسبات اصلی آن بیان می شود. همچنین در ادامه نشان خواهیم داد که این الگوریتم می تواند بصورت بهینه توسعه یابد. در قسمت چهارم، عملکرد الگوریتم تصویرافاین سریع بر پایه رابطه بقای انرژی در حالت گذرا و ماندگار بررسی و رابطه متوسط مربع خطای حالت ماندگار در این الگوریتم محاسبه شده است. در قسمت بعد، نتایج شبیه سازی الگوریتم تصویرافاین سریع روی شناسایی سیستم و مقایسه عملکرد آن با دیگر الگوریتم های کلاسیک فیلترهای سازگار حداقل میانگین مربعات، حداقل میانگین مربعات نرمالیزه شده، الگوریتم تصویرافاین و حداقل مربعات بازگشتی، ارائه گردیده است و قسمت آخر شامل نتیجه گیری و جمع بندی است. در طول مقاله از عملگرهای ریاضی مطابق با جدول (۱) استفاده می شود.

خطا تا حد امکان کوچک باشد. رابطه $X(n)h(n)$ را می‌توان به صورت مجموع وزن‌هایی از ستون‌های $X(n)$ نوشت، به طوری که $h(n)$ عامل‌های وزن نامیده می‌شود:

$$X(n)h(n) = \sum_{k=0}^{M-1} h_k(n)x_k(n) \quad (8)$$

یک الگوریتم کارآمد برای ساختن تقریبی از ترکیب خطی بردارها، از روی یک مجموعه داده، الگوریتم پیگیری تطبیقی است [۲۰]، [۲۱]. ما یک الگوریتم بازگشتی، برای ساختن تقریبی از $d(n)$ با استفاده از ترکیب خطی ستون‌های $X(n)$ ارائه خواهیم داد.

۳-۱- توسعه الگوریتم تصویرافاین سریع

فرض کنیم که تقریبی برای $d(n-1)$ در زمان $n-1$ از $X(n)h(n-1)$ رادر اختیار داریم، خطای تقریبی پیشین در لحظه n از رابطه (۹) حاصل می‌شود:

$$e_0(n) = d(n) - X(n)h(n-1) \quad (9)$$

برای تقریب بهتر؛ و با هدف اصلاح فقط یک ضریب در $h(n-1)$ ، خطای جدیدی به صورت رابطه (۱۰) تعریف می‌کنیم:

$$e_1(n) = d(n) - X(n)(h(n-1) + h_{j_0(n)}^{update}(n)u_{j_0(n)}) \quad (10)$$

توجه کنید که $j_0(n)$ شماره ضریبی از بردار فیلتر است که باید در صفرمین تکرار پیگیری تطبیقی MP و در زمان n اصلاح شود. u_j یک بردار $M \times 1$ با مقدار یک در موقعیت j و صفر در بقیه مکان‌ها است. بنابراین با توجه به قسمت دوم طرف راست رابطه (۱۰)، تنها یک ضریب از بردار ضرایب اصلاح می‌شود. هدف دیگر رابطه (۱۰)، رسیدن به تقریب بهتر برای سیگنال مطلوب است. بدین منظور با تصویر کردن بردار $e_0(n)$ روی ستون‌های ماتریس $X(n)$ ، و انتخاب بزرگ‌ترین مقدار، مناسب‌ترین تقریب و در نتیجه مناسب‌ترین ضریب را برای اصلاح انتخاب می‌کنیم. بنابراین $j_0(n)$ شماره ستونی از $X(n)$ است که $e_0(n)$ روی آن ستون دارای ماکزیمم تصویر باشد، یا به عبارت دیگر:

$$j_0(n) = \arg \max_j \frac{|\langle e_0(n), x_j(n) \rangle|}{\|x_j(n)\|} \quad (11)$$

با تعیین شاخص $j_0(n)$ ، ضریب فیلتر با رابطه (۱۲) اصلاح می‌شود:

$$h_{j_0(n)}(n) = h_{j_0(n)}(n-1) + h_{j_0(n)}^{update}(n) \quad (12)$$

به طوری که $h_{j_0(n)}^{update}(n)$ ، اندازه تصویر $e_0(n)$ روی بردار واحد، با جهت به دست آمده از $x_{j_0(n)}(n)$ است و مقدار $h_{j_0(n)}^{update}(n)$ از رابطه (۱۲) حاصل می‌شود:

ضرایب به طور بهینه انتخاب و اصلاح می‌گردد. الگوریتم تصویرافاین سریع بر پایه الگوریتم پیگیری تطبیقی کار می‌کند. در این شیوه، ابتدا باید بهترین ضریب برای اصلاح مشخص و سپس مقدار اصلاح شده برای این ضریب فیلتر محاسبه شود. همچنین می‌توان این مرحله را برای هر نمونه سیگنال جدید، با یک پیگیری تطبیقی یا بیشتر اجرا کرد، به طوری که تعادل مناسبی بین سرعت همگرایی و پیچیدگی محاسبات برقرار شود. الگوریتم ارائه شده، حتی فقط با یک تکرار پیگیری تطبیقی برای هر نمونه، عملکرد مناسبی خواهد داشت. همچنین با تکرار بیشتر پیگیری تطبیقی برای هر نمونه سیگنال، محاسبات اضافه شده، زیاد نخواهد بود.

۳- الگوریتم تصویرافاین سریع

با توجه به شکل (۱)، سیگنال خطای $e(n)$ را می‌توان به صورت رابطه (۱) بیان کرد:

$$e(n) = d(n) - \sum_{k=0}^{M-1} h_k(n)x(n-k) \quad (1)$$

با بررسی نمونه‌های $n-L+1, n-L+2, \dots, n$ به طوری که $L > M$ باشد، رابطه (۱) را می‌توان به صورت رابطه (۲) نوشت:

$$e(n) = d(n) - X(n)h(n) \quad (2)$$

در این رابطه، $e(n)$ بردار سیگنال خطا و $d(n)$ بردار نمونه سیگنال مطلوب با اندازه $L \times 1$ است.

$$d(n) = [d(n), d(n-1), \dots, d(n-L+1)]^T \quad (3)$$

$$e(n) = [e(n), e(n-1), \dots, e(n-L+1)]^T \quad (4)$$

همچنین $X(n)$ ، ماتریس $L \times M$ سیگنال ورودی است و به صورت رابطه (۵) بیان می‌شود.

$$X(n) = \begin{bmatrix} x(n) & x(n-1) & \dots & x(n-M+1) \\ x(n-1) & x(n-2) & \dots & x(n-M) \\ \vdots & \vdots & \ddots & \vdots \\ x(n-L+1) & x(n-L) & \dots & x(n-L-M+2) \end{bmatrix} \quad (5)$$

ماتریس $X(n)$ را می‌توان به صورت زیر نیز نوشت:

$$X(n) = [x_0(n), x_1(n), \dots, x_{M-1}(n)] \quad (6)$$

با توجه به رابطه (۶)، ستون‌های ماتریس $X(n)$ از رابطه (۷) حاصل می‌شوند:

$$x_j(n) = [x(n-j), x(n-j-1), \dots, x(n-j-L+1)]^T \quad (7)$$

مسئله فیلترهای وفقی را می‌توان با این هدف بیان کرد که ضرایب فیلتر $h(n)$ در هر لحظه n اصلاح شود؛ به طوری که

را می‌توان برای تکرارهایی که $i > 0$ (تکرار MP بیشتر از یک) و در زمان لحظه ای n ، به صورت زیر بیان کرد:

$$j_i(n) = \arg \max_j \frac{1}{\|x_j(n)\|} \langle d(n), x_j(n) \rangle - \sum_{k=0}^{M-1} h_k^{(i-1)}(n-1) \langle x_k(n), x_j(n) \rangle \quad (19)$$

و

$$h_{j_i(n)}^{update}(n) = \frac{1}{\|x_{j_i(n)}(n)\|^2} \{ \langle d(n), x_{j_i(n)}(n) \rangle - \sum_{k=0}^{M-1} h_k^{(i-1)}(n-1) \langle x_k(n), x_{j_i(n)}(n) \rangle \} \quad (20)$$

از این تساوی ها روشن می‌شود که برخی از روابط فقط به n بستگی دارند. به طوری که تنها یکبار برای هر n محاسبه می‌شوند و به صورت تغییر نیافته در همه تکرارهای MP در زمان n استفاده می‌شوند. برخی روابط نیز به n و شاخص MP بستگی دارند و بایستی برای هر تکرار MP اصلاح شوند. اگر بتوانیم اصلاح در تکرار n را به تکرار 0 ارتباط دهیم، رابطه به دست آمده یک رابطه با ارزش و بهینه خواهد بود.

از روابط (17) و (18) مشخص است که ضرب داخلی $\langle d(n), x_j(n) \rangle$ و $\langle x_k(n), x_j(n) \rangle$ نقش مهم و کلیدی در محاسبات الگوریتم ایفا می‌کنند. این مقادیر را می‌توان با رابطه‌های بازگشتی زیر محاسبه کرد:

$$\langle d(n), x_j(n) \rangle = \langle d(n-1), x_j(n-1) \rangle + d(n)x(n-j) - d(n-L)x(n-j-L) \quad (21)$$

و

$$\langle x_k(n), x_j(n) \rangle = \langle x_k(n-1), x_j(n-1) \rangle + x(n-k)x(n-j) - x(n-k-L)x(n-j-L) \quad (22)$$

در بخش بعد به توسعه بهینه الگوریتم تصویرافاین سریع می‌پردازیم.

۳-۲- توسعه بهینه الگوریتم تصویرافاین سریع

الگوریتم کارآمد از لحاظ محاسباتی می‌تواند با استفاده از ارتباط سیگنال ورودی در تکرارهای مختلف با یکدیگر حاصل شود. در این قسمت روابط بازگشتی کارآمدی برای محاسبات انجام شده در این الگوریتم ارائه می‌شود. در این الگوریتم، عملگرهای ریاضی ضرب و تقسیم (حجم محاسبات) را در هر تکرار و برای تمامی روابط محاسبه می‌کنیم.

$$\langle x_k(n), x_j(n) \rangle \text{ و } \|x_j(n)\|^2 \text{ محاسبه ۱-۲-۳}$$

عبارات $\|x_j(n)\|^2$ و $\langle x_k(n), x_j(n) \rangle$ در هر دو رابطه (17) و (18) وجود دارند و باید در هر تکرار محاسبه شوند؛ اما هنگامی

$$h_{j_0(n)}^{update}(n) = \frac{\langle e_0(n), x_{j_0(n)}(n) \rangle}{\|x_{j_0(n)}(n)\|^2} \quad (13)$$

بنابراین برای صفرمین تکرار MP بردار فیلتر، مطابق با رابطه (14) اصلاح می‌شود:

$$h^0(n) = h(n-1) + h_{j_0(n)}^{update}(n)u_{j_0(n)} \quad (14)$$

نتیجه خطای رابطه (10)، می‌تواند به صورت زیر نوشته شود:

$$e_1(n) = d(n) - X(n)h^0(n) \quad (15)$$

اگر بخواهیم بیشتر از یک تکرار MP در زمان n داشته باشیم، بایستی $e_1(n)$ را به جای $e_0(n)$ قرار دهیم. این عمل می‌تواند چندین بار به طور دلخواه (MP بار) انجام شود.

$$h_{j_0(n)}(n), h_{j_1(n)}(n), \dots, h_{j_{MP-1}(n)}(n) \quad (16)$$

شایان ذکر است اگر $MP > 2$ باشد، این امکان وجود دارد که یکی از ضرایب فیلتر در زمان معین n بیشتر از یک بار اصلاح شود. روند توصیف شده در بالا بر پایه استفاده از الگوریتم پیگیری تطبیقی روی مجموعه‌ای از بردارهای به دست آمده از ستون‌های $X(n)$ ، به منظور ایجاد یک تقریب برای $d(n)$ منطبق است [20]. روند کلی الگوریتم تصویرافاین سریع در زیر آمده است:

FOR $n = 0, 1, \dots$ DO

$$e(n) = d(n) - X(n)h(n-1)$$

FOR $i = 0, 1, \dots, MP-1$ DO

$$j_i(n) = \arg \max_j \frac{|e^T(n)x_j(n)|}{\|x_j(n)\|}, j = 0, 1, \dots, M-1$$

$$h_{j_i(n)}^{update}(n) = \frac{e^T(n)x_{j_i(n)}(n)}{\|x_{j_i(n)}(n)\|^2}$$

$$h_{j_i(n)}(n) = h_{j_i(n)}(n-1) + h_{j_i(n)}^{update}(n)$$

$$e(n) = e(n) - h_{j_i(n)}^{update}(n)x_{j_i(n)}(n)$$

END FOR

END FOR

روابط (11) و (13) را می‌توان با استفاده از رابطه (10) به صورت زیر بیان کرد:

$$j_0(n) = \arg \max_j \frac{1}{\|x_j(n)\|} \langle d(n), x_j(n) \rangle - \sum_{k=0}^{M-1} h_k(n-1) \langle x_k(n), x_j(n) \rangle \quad (17)$$

و

$$h_{j_0(n)}^{update}(n) = \frac{1}{\|x_{j_0(n)}(n)\|^2} \{ \langle d(n), x_{j_0(n)}(n) \rangle - \sum_{k=0}^{M-1} h_k(n-1) \langle x_k(n), x_{j_0(n)}(n) \rangle \} \quad (18)$$

در این روابط، اگر یک ضریب اصلاح شود، یک تکرار MP برای هر نمونه سیگنال جدید انجام می‌شود. معادله‌های (18) و (19)

که $k = j$ است، مقدار $\langle \underline{x}_k(n), \underline{x}_j(n) \rangle$ برابر با مربع اندازه اقلیدسی؛ یعنی $\|\underline{x}_j(n)\|^2$ خواهد بود، بنابراین تنها به محاسبه $\langle \underline{x}_k(n), \underline{x}_j(n) \rangle$ می‌پردازیم.

عبارت $\langle \underline{x}_k(n), \underline{x}_j(n) \rangle$ برای $k = 0, 1, \dots, M-1$ و $j = 0, 1, \dots, M-1$ المان‌های ماتریس $X^T(n)X(n)$ است. از رابطه (۵) مشخص است که برای $j = 1, 2, \dots, M-1$ رابطه $\underline{x}_{j-1}(n-1) = \underline{x}_j(n)$ برقرار است. این بدان معناست که محاسبه $X^T(n)X(n)$ با دانستن $X^T(n-1)X(n-1)$ ، تنها به پیدا کردن بالاترین سطر و اولین ستون این ماتریس نیاز است. المان‌های دیگر این ماتریس را می‌توان از $X^T(n-1)X(n-1)$ به دست آورد. همچنین ماتریس $X^T(n)X(n)$ متقارن است. بنابراین تنها به محاسبه اولین سطر یا ستون، برای تعیین $X^T(n)X(n)$ نیاز داریم. اولین سطریا ستون ماتریس $X^T(n)X(n)$ را می‌توان به صورت $\langle \underline{x}_0(n), \underline{x}_j(n) \rangle$ برای $j = 0, 1, \dots, M-1$ با رابطه بازگشتی زیر محاسبه کرد:

$$\langle \underline{x}_0(n), \underline{x}_j(n) \rangle = \langle \underline{x}_0(n-1), \underline{x}_j(n-1) \rangle + x(n)x(n-j) - x(n-L)x(n-j-L) \quad (22)$$

با ذخیره $x(n-L)x(n-j-L)$ که در تکرار گذشته محاسبه شده است، نتیجه می‌گیریم که برای محاسبه ضرب داخلی ستون‌های ماتریس $X(n)$ تنها به یک ضرب برای هر j نیاز است و در مجموع به M ضرب نیاز داریم.

$$\sum_{k=0}^{M-1} h_k(n-1) \langle \underline{x}_k(n), \underline{x}_j(n) \rangle \quad \text{محاسبه ۲-۲-۳}$$

در الگوریتم تصویرافاین سریع، در هر تکرار تنها یکی از ضرایب فیلتر اصلاح می‌شود. فرض کنید در زمان $n-1$ ، ضریب $j_0(n-1)$ باید اصلاح شود. با رابطه (۲۴) می‌توان ضریب $j_0(n-1)$ ام فیلتر را اصلاح کرد:

$$h_j(n-1) = h_j(n-2) + \delta(j - j_0(n-1)) h_{j_0(n-1)}^{update}(n-1) \quad (24)$$

به طوری که $\delta(n)$ ضربه واحد می‌باشد. با توجه به رابطه بازگشتی (۲۲):

$$\begin{aligned} \sum_{k=0}^{M-1} h_k(n-1) \langle \underline{x}_k(n), \underline{x}_j(n) \rangle &= \sum_{k=0}^{M-1} h_k(n-2) \langle \underline{x}_k(n-1), \underline{x}_j(n-1) \rangle \\ &+ h_{j_0(n-1)}^{update}(n-1) \langle \underline{x}_{j_0(n-1)}(n-1), \underline{x}_j(n-1) \rangle \\ &+ x(n-j) \sum_{k=0}^{M-1} h_k(n-1)x(n-k) \\ &- x(n-j-L) \sum_{k=0}^{M-1} h_k(n-1)x(n-k-L) \end{aligned} \quad (25)$$

با دقت در رابطه (۲۵) مشخص می‌شود که عبارت اول در سمت

راست رابطه (۲۵) با $\sum_{k=0}^{M-1} h_k(n-1) \langle \underline{x}_k(n), \underline{x}_j(n) \rangle$ در زمان لحظه‌ای گذشته $n-1$ برابر است؛ بنابراین این عبارت از تکرار قبل به دست می‌آید. همچنین با دانستن مقادیر ضرب‌های داخلی $\langle \underline{x}_k(n-1), \underline{x}_j(n-1) \rangle$ از تکرار گذشته، عبارت $\langle \underline{x}_k(n-1), \underline{x}_j(n-1) \rangle$ به $h_{j_0(n-1)}^{update}(n-1) \langle \underline{x}_{j_0(n-1)}(n-1), \underline{x}_j(n-1) \rangle$ ضرب برای هر j نیاز دارد. دو عبارت دیگر در رابطه (۲۵) نیز به $4M$ ضرب نیاز دارند.

$$\langle \underline{d}(n), \underline{x}_j(n) \rangle \quad \text{محاسبه ۳-۲-۳}$$

باتوجه به رابطه (۲۱)، مشخص می‌شود که با ذخیره کردن $d(n-L)x(n-j-L)$ در تکرار گذشته، تعداد ضرب مورد نیاز برابر با M در هر تکرار خواهد بود. یعنی تنها به محاسبه $d(n)x(n-j)$ برای $j = 0, 1, \dots, M-1$ نیاز خواهیم داشت.

$$\text{جمع بندی ۳-۲-۴}$$

با اجرای یک تکرار MP در هر زمان n ، محاسبات لازم در الگوریتم تصویرافاین سریع را می‌توان به صورت زیر جمع بندی کرد:

۱- اصلاح $\langle \underline{x}_k(n), \underline{x}_j(n) \rangle$ و در نتیجه محاسبه $\|\underline{x}_j(n)\|^2$ (M ضرب).

۲- اصلاح $\langle \underline{d}(n), \underline{x}_j(n) \rangle$ (M ضرب).

۳- اصلاح $\sum_{k=0}^{M-1} h_k(n-1) \langle \underline{x}_k(n), \underline{x}_j(n) \rangle$ ($5M$ ضرب).

۴- محاسبه عبارت زیر:

$$|\langle \underline{d}(n), \underline{x}_j(n) \rangle - \sum_{k=0}^{M-1} h_k(n-1) \langle \underline{x}_k(n), \underline{x}_j(n) \rangle|^2$$

برای $j = 0, 1, \dots, M-1$ و سپس تقسیم بر $\|\underline{x}_j(n)\|^2$ و نهایتاً پیدا کردن شاخص j با مشخص شدن بزرگ‌ترین مقدار. (M ضرب و تقسیم و $M-1$ مقایسه).

۵- اصلاح ضرایب فیلتر برطبق معادله (۱۸). (یک تقسیم)

بنابراین در مجموع برای هر تکرار به $8M$ ضرب و $M+1$ تقسیم نیاز خواهیم داشت. پیدا کردن شاخص j می‌تواند به صورت ساده‌تر و با محاسبات کمتری انجام شود. این عمل می‌تواند با استفاده از رابطه (۲۶) به جای رابطه (۱۷) انجام گیرد:

$$\begin{aligned} j_0(n) &= \arg \max_j |\langle \underline{d}(n), \underline{x}_j(n) \rangle \\ &- \sum_{k=0}^{M-1} h_k(n-1) \langle \underline{x}_k(n), \underline{x}_j(n) \rangle| \end{aligned} \quad (26)$$

در این رابطه از تقسیم عبارت بالا بر $\|\underline{x}_j(n)\|^2$ صرف‌نظر نموده و بنابراین به اندازه M ضرب و تقسیم از پیچیدگی محاسبات (حجم محاسبات) کاسته می‌شود. دلیل استفاده از این تقریب آن است که انرژی ستون‌ها، $\|\underline{x}_j(n)\|^2$ ، به طور آهسته با j تغییر

$$E\{e_a^2(n)\} = E\{\underline{\varepsilon}^T(n-1)\underline{x}(n)\underline{x}^T(n)\underline{\varepsilon}(n-1)\} \quad (31)$$

با استفاده از فرضیات استقلال^{۲۳} [۵] و استفاده از تعریف اندازه اقلیدسی وزن دار^{۲۴} خواهیم داشت:

$$E\{e_a^2(n)\} = E\{\underline{\varepsilon}^T(n-1)R_x\underline{\varepsilon}(n-1)\} = E\{\|\underline{\varepsilon}(n-1)\|_{R_x}^2\} \quad (32)$$

به طوری که $R_x = E\{\underline{x}(n)\underline{x}^T(n)\}$ ماتریس خود همبستگی سیگنال ورودی است؛ بنابراین برای یافتن منحنی یادگیری، به یافتن $E\{\|\underline{\varepsilon}(n-1)\|_{R_x}^2\}$ به صورت تابعی از n نیاز است. با نگاهی مجدد به رابطه (۱۴) متوجه خواهیم شد که می توان این رابطه را به رابطه ای که تمامی وزن ها در آن اصلاح می شوند، تبدیل کرد:

$$\underline{h}(n) = \underline{h}(n-1) + \frac{1}{\|\underline{x}_{j(n)}(n)\|^2} i_{j(n)} X^T(n) \underline{e}(n) \quad (33)$$

به طوری که:

$$\underline{e}(n) = \underline{d}(n) - X(n)\underline{h}(n-1) \quad (34)$$

بردار خطای خروجی خواهد بود. بردار سیگنال مطلوب نیز با در نظر گرفتن مدل داده به صورت خطی، از رابطه (۳۵) حاصل می شود:

$$\underline{d}(n) = X(n)\underline{h}_t + \underline{v}(n) \quad (35)$$

به طوری که $\underline{v}(n)$ بردار نویز اندازه گیری شده با اندازه $L \times 1$ است. با جایگذاری (۳۵) در (۳۴)، برای خطای خروجی به (۳۶) خواهیم رسید:

$$\underline{e}(n) = X(n)\underline{\varepsilon}(n-1) + \underline{v}(n) \quad (36)$$

که در آن، $j(n)$ آرگومان ضربی از فیلتر است که باید اصلاح شود. همچنین یک ماتریس $M \times M$ است که عنصر $(j(n), j(n))$ آن برابر یک و بقیه عناصر آن صفر است. بنابراین عبارت $i_{j(n)} X^T(n)$ یک ماتریس است که سطر $j(n)$ ام آن همان سطر $j(n)$ ام ماتریس $X^T(n)$ و بقیه سطرها آن صفر می باشد. اگر در هر زمان لحظه ای، تکرار MP بیشتری داشتیم، $j(n)$ با $j_i(n)$ به طوری که $i = 0, 1, \dots, MP-1$ باشد، جایگزین می شود. همان طور که در قسمت های قبل بیان شد، تکرار MP ، تعداد اصلاح در هر زمان لحظه ای است.

با تعریف $C^{-1}(n) = \frac{1}{\|\underline{x}_{j(n)}(n)\|^2} i_{j(n)}$ رابطه (۳۲) را به صورت

زیر می نویسیم:

$$\underline{h}(n) = \underline{h}(n-1) + C^{-1}(n) X^T(n) \underline{e}(n) \quad (37)$$

با توجه به تعریف بردار خطای وزن $\underline{\varepsilon}(n) = \underline{h}_t - \underline{h}(n)$ ، رابطه (۳۷) را می توان به صورت رابطه (۳۸) نوشت:

$$\underline{\varepsilon}(n) = \underline{\varepsilon}(n-1) - C^{-1}(n) X^T(n) \underline{e}(n) \quad (38)$$

با جایگذاری رابطه (۳۶) در رابطه (۳۸) خواهیم داشت:

می کند. خطای ایجاد شده با فرض نادرست بودن این فرض نیز مهم نیست؛ زیرا ضرایب به طور سریع اصلاح می شوند. بنابراین با این فرض، پیچیدگی محاسبات در هر تکرار به $7M$ ضرب و $M-1$ مقایسه و یک تقسیم کاهش می یابد. تعداد عمل جمع نیز $10M-1$ در هر تکرار است.

۳-۲-۵- تکرار MP اضافی

تنها تفاوت روابط (۱۹) و (۲۰) با روابط (۱۷) و (۱۸) در عبارت (۲۷) است:

$$\sum_{k=0}^{M-1} h_k^{(i-1)}(n) < \underline{x}_k(n), \underline{x}_j(n) > \quad (27)$$

اصلاح ضریب فیلتر برای تکرار $i > 0$ ام MP از رابطه (۲۸) حاصل می شود:

$$h_{j_i(n)}^i(n) = h_{j_i(n)}^{(i-1)}(n) + h_{j_i(n)}^{update}(n) \quad (28)$$

بنابراین رابطه (۲۷) را می توان بصورت رابطه (۲۹) نوشت:

$$\begin{aligned} \sum_{k=0}^{M-1} h_k^{(i-1)}(n) < \underline{x}_k(n), \underline{x}_j(n) > \\ = \sum_{k=0}^{M-1} h_k^{(i-2)}(n) < \underline{x}_k(n), \underline{x}_j(n) > \\ + h_{j_{(i-1)}}^{update}(n) < \underline{x}_{j_{(i-1)}}(n), \underline{x}_j(n) > \end{aligned} \quad (29)$$

عبارت اول درست راست رابطه (۲۹) از تکرار $i-1$ ام قابل محاسبه است. بنابراین تنها به محاسبه عبارت دوم نیاز داریم. این عبارت نیاز به M ضرب و M جمع دارد. اصلاح ضریب فیلتر نیز به یک جمع و یک تقسیم برای هر تکرار MP نیاز خواهد داشت. به طور کلی، هر تکرار اضافی MP ، به M ضرب، یک تقسیم، $2M+1$ جمع و $M-1$ مقایسه نیاز دارد.

۴- بررسی عملکرد الگوریتم تصویر افین سریع

تمرکز ما برای بررسی عملکرد الگوریتم تصویر افین سریع روی تحلیل عملکرد گذرا خواهد بود که با توجه به آن می توان عملکرد حالت ماندگار الگوریتم را بررسی کرد. منحنی یادگیری یک فیلتر سازگار به وسیله رشد زمانی مقادیر متوسط مربع خطای پیشین؛ یعنی $E\{e_a^2(n)\}$ تعریف می شود؛ به طوری که خطای پیشین به صورت زیر تعریف می شود:

$$e_a(n) = \underline{x}^T(n)[\underline{h}_t - \underline{h}(n-1)] \quad (30)$$

\underline{h}_t بردار ناشناخته ضرایب فیلتر است که سعی داریم آن را تخمین بزنیم. با تعریف بردار خطای وزن به صورت $\underline{\varepsilon}(n) = \underline{h}_t - \underline{h}(n)$ ، خطای تخمین پیشین^{۲۳} را می توان به صورت $e_a(n) = \underline{x}^T(n)\underline{\varepsilon}(n-1)$ نوشت. بنابراین متوسط مربع خطای پیشین از رابطه (۳۱) تعیین می شود:

$$F = I - \{Q(n) \otimes I + I \otimes Q(n)\} + Q(n) \otimes Q(n) \quad (47)$$

خواهیم داشت:

$$\sigma' = F\sigma \quad (48)$$

همچنین با فرض اینکه سیگنال ورودی $X(n)$ مستقل و با توزیع یکسان است و $\varepsilon(n-1)$ مستقل از $Q(n)$ می باشد، رابطه (47) را می توان با تعریف $\Sigma' = E\{\Sigma'\}$ ساده تر کرد:

$$F = E\{F\} = I - E\{Q(n)\} \otimes I + I \otimes E\{Q(n)\} + E\{Q(n) \otimes Q(n)\} \quad (49)$$

بنابراین رابطه (43) بصورت رابطه (50) بیان می شود:

$$E\{\|\underline{\varepsilon}(n)\|_{\sigma}^2\} = E\{\|\underline{\varepsilon}(n-1)\|_{\sigma}^2\} + E\{\underline{v}^T(n)A(n)\underline{v}(n)\} \quad (50)$$

عبارت $E\{\underline{v}^T(n)A(n)\underline{v}(n)\}$ را می توان به صورت زیر ساده کرد:

$$E\{\underline{v}^T(n)A(n)\underline{v}(n)\} = \sigma_v^2 \text{Tr}\{E\{A(n)\}\} \quad (51)$$

به طوری که σ_v^2 واریانس نویز است. رابطه (51) را می توان به صورت زیر نیز بیان کرد:

$$E\{\underline{v}^T(n)A(n)\underline{v}(n)\} = \sigma_v^2 \text{Tr}\{E\{A(n)\}\} = \sigma_v^2 \gamma^T \sigma \quad (52)$$

به طوری که γ از رابطه (52) حاصل می شود.

$$\gamma = \text{vec}\{C^{-1}(n)X^T(n)X(n)C^{-T}(n)\} \quad (53)$$

با جایگزینی $\Sigma = R_x$ در (50) قادر خواهیم بود که عملکرد گذرای الگوریتم تصویرافاین سریع را بررسی کنیم.

$$E\{\|\underline{\varepsilon}(n)\|_{\Sigma}^2\} = E\{\|\underline{\varepsilon}(-1)\|_{\Sigma}^2\} + \sigma_v^2 \gamma^T \{I + F + \dots + F^{n-1}\} r \quad (54)$$

به طوری که:

$$r = \text{vec}\{R_x\} \quad (55)$$

است. مقدار متوسط مربع خطای اضافی^{۳۱} در حالت ماندگار از رابطه (56) حاصل می شود.

$$EMSE = \lim_{n \rightarrow \infty} E\{|e_a(n)|^2\} \quad (56)$$

بنابراین با توجه به (32)، مقدار $EMSE$ با میل کردن n به سمت بی نهایت از (57) حاصل می شود:

$$EMSE = \sigma_v^2 \gamma^T \{I - F\}^{-1} r \quad (57)$$

همچنین با توجه به (36) می دانیم:

$$e(n) = e_a(n) + v(n) \quad (58)$$

بنابراین مقدار متوسط مربع خطا^{۳۲} در حالت ماندگار از (59) حاصل می شود:

$$MSE = \lim_{n \rightarrow \infty} E\{|e(n)|^2\} = EMSE + \sigma_v^2 \quad (59)$$

مقدار متوسط مربع انحراف ضرایب^{۳۳} نیز با جایگذاری $r = \text{vec}\{I\}$ در (57) از رابطه (60) حاصل می شود.

$$MSD = \sigma_v^2 \gamma^T \{I - F\}^{-1} \text{vec}\{I\} \quad (60)$$

$$\begin{aligned} \underline{\varepsilon}(n) &= \underline{\varepsilon}(n-1) - C^{-1}(n)X^T(n)[X(n)\underline{\varepsilon}(n-1) + \underline{v}(n)] \\ &= [I - C^{-1}(n)X^T(n)X(n)]\underline{\varepsilon}(n-1) - C^{-1}(n)X^T(n)\underline{v}(n) \end{aligned} \quad (39)$$

با گرفتن اندازه اقلیدسی وزن دار از رابطه (39) داریم:

$$\begin{aligned} \|\underline{\varepsilon}(n)\|_{\Sigma}^2 &= \underline{\varepsilon}^T(n) \Sigma \underline{\varepsilon}(n) \\ &= \{\underline{\varepsilon}^T(n-1) - \underline{\varepsilon}^T(n-1)X^T(n)X(n)C^{-T}(n) \\ &\quad - \underline{v}^T(n)X(n)C^{-T}(n)\} \Sigma \\ &\quad \{\underline{\varepsilon}(n-1) - C^{-1}(n)X^T(n)X(n)\underline{\varepsilon}(n-1) \\ &\quad - C^{-1}(n)X^T(n)\underline{v}(n)\} \end{aligned} \quad (40)$$

با تعریف $A(n) = X(n)C^{-T}(n)\Sigma C^{-1}(n)X^T(n)$ ، رابطه (40) را می توان به صورت (41) ساده کرد:

$$\begin{aligned} \|\underline{\varepsilon}(n)\|_{\Sigma}^2 &= \|\underline{\varepsilon}(n-1)\|_{\Sigma}^2 + \underline{v}^T(n)A(n)\underline{v}(n) \\ &\quad - \underline{\varepsilon}^T(n-1) \Sigma C^{-1}(n)X^T(n)\underline{v}(n) \\ &\quad - \underline{v}^T(n)X(n)C^{-T}(n) \Sigma \underline{\varepsilon}(n-1) \\ &\quad + \underline{\varepsilon}^T(n-1)X^T(n)A(n)\underline{v}(n) \\ &\quad + \underline{v}^T(n)A(n)X(n)\underline{\varepsilon}(n-1) \end{aligned} \quad (41)$$

به طوری که Σ' از رابطه (42) حاصل می شود:

$$\begin{aligned} \Sigma' &= \Sigma - \Sigma C^{-1}(n)X^T(n)X(n) - X^T(n)X(n)C^{-T}(n)\Sigma \\ &\quad + X^T(n)A(n)X(n) \end{aligned} \quad (42)$$

با فرض اینکه نویز $\underline{v}(n)$ مستقل و با توزیع یکسان^{۳۰} و از نظر آماری از ماتریس سیگنال ورودی $X(n)$ مستقل است و صرف نظر از وابستگی $\underline{\varepsilon}(n-1)$ به نویزهای گذشته، با گرفتن امیدریاضی از رابطه (41) خواهیم داشت:

$$E\{\|\underline{\varepsilon}(n)\|_{\Sigma}^2\} = E\{\|\underline{\varepsilon}(n-1)\|_{\Sigma}^2\} + E\{\underline{v}^T(n)A(n)\underline{v}(n)\} \quad (43)$$

با توجه به فرضی که برای نویز $\underline{v}(n)$ در نظر گرفته شده است، آشکار است که باقیمانده عبارات در (41) صفر خواهند شد.

با تعریف $Q(n) = X^T(n)X(n)C^{-T}(n)$ ، عبارت Σ' در رابطه (42) به صورت رابطه (44) درخواهد آمد:

$$\Sigma' = \Sigma - \Sigma Q^T(n) - Q(n)\Sigma + Q(n)\Sigma Q^T(n) \quad (44)$$

با اعمال عملگر $\text{vec}(\cdot)$ به دوطرف (44):

$$\begin{aligned} \sigma' &= \text{vec}\{\Sigma'\} = \text{vec}\{\Sigma - \Sigma Q^T(n) - Q(n)\Sigma + Q(n)\Sigma Q^T(n)\} \\ &= \text{vec}\{\Sigma\} - \text{vec}\{\Sigma Q^T(n)\} - \text{vec}\{Q(n)\Sigma\} + \text{vec}\{Q(n)\Sigma Q^T(n)\} \end{aligned} \quad (45)$$

و با تعریف رابطه بین عملگر $\text{vec}(\cdot)$ و ضرب کرونگر \otimes به صورت $\text{vec}\{X \Sigma Y\} = \{Y^T \otimes X\} \text{vec}\{\Sigma\}$ ، خواهیم داشت:

$$\sigma' = \{I - Q(n) \otimes I - I \otimes Q(n) + Q(n) \otimes Q(n)\} \text{vec}\{\Sigma\} \quad (46)$$

با تعریف:

۵- نتایج شبیه سازی

برای بررسی عملکرد الگوریتم تصویرافاین سریع از ساختار شناسایی سیستم با فیلترهای سازگار نشان داده شده در شکل (۲) استفاده کرده ایم.

در این کاربرد، پاسخ ضربه سیستم ناشناخته را؛ که بایستی شناسایی شود، به صورت زیر در نظر می گیریم:

$$P(z) = 0.1483 + 0.2595z^{-1} - 0.0318z^{-2} - 0.1536z^{-3} - 0.2118z^{-4} + 0.1059z^{-5} + 0.5295z^{-6} + 0.7314z^{-7} \quad (61)$$

به طوری که:

$$P(0) = 0.1483, P(1) = 0.2595, P(2) = -0.0318, \\ P(3) = -0.1536, P(4) = -0.2118, P(5) = 0.1059 \\ P(6) = 0.5295, P(7) = 0.7314$$

(۶۲)

درجه فیلتر سازگار را ۸، اندازه L را ۲۲ و واریانس نویز اضافه شده $v(n)$ ، برابر با $\sigma_v^2 = 10^{-3}$ در نظر گرفته شده است. همچنین عملکرد فیلتر سازگار، با دونوع ورودی آزمایش شده است:

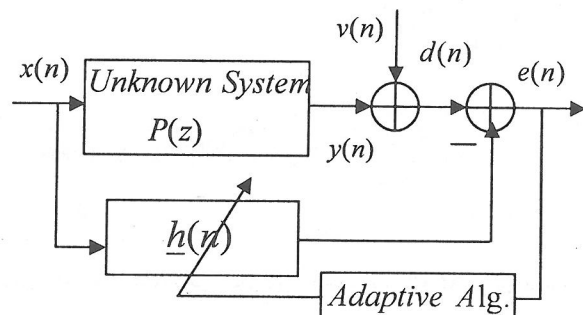
۱- سیگنال ورودی $x(n)$ ، نویز سفید گوسی است.
۲- سیگنال ورودی $x(n)$ ، نویز سفید گوسی است که از سیستم مرتبه اول (۶۳) عبور داده شده است. در این حالت، سیگنال خروجی، نویز گوسی رنگی خواهد بود.

$$G(z) = \frac{1}{1 - 0.9z^{-1}} \quad (63)$$

نسبت سیگنال به نویز از رابطه زیر حاصل می شود:

$$SNR = 10 \log_{10} \left(\frac{E[y^2(n)]}{E[v^2(n)]} \right) \quad (64)$$

باتوجه به رابطه (۶۴) نسبت سیگنال به نویز در این آزمایش $SNR = 30dB$ خواهد بود. منحنی های یادگیری رسم شده در تمامی شبیه سازی ها با میانگین گیری از ۲۰۰ آزمایش رسم شده اند.



شکل (۲): ساختار کلی شناسایی سیستم توسط فیلتر سازگار

شکل های (۳) و (۴) نتایج شبیه سازی با الگوریتم LMS و مقایسه آن با الگوریتم تصویرافاین سریع را نشان می دهد. در این شبیه سازی، منحنی های یادگیری الگوریتم LMS و تصویر

افاین سریع برای ورودی نویز گوسی سفید و نویز گوسی رنگی ترسیم شده است. هرچند که برای ورودی نویز سفید، الگوریتم LMS عملکرد خوبی دارد اما برای ورودی نویز رنگی، سرعت پایین همگرایی دارد. این نتایج برای اندازه گام های مختلف نشان داده شده است. با افزایش اندازه گام، با وجود افزایش سرعت همگرایی، خطای ماندگار سیستم نیز افزایش می یابد. همان طور که نتایج شبیه سازی نشان می دهد، الگوریتم تصویرافاین سریع با یک پیگیری تطبیقی $MP=1$ ، در مقایسه با الگوریتم LMS به ویژه هنگام ورودی نویز رنگی، سرعت همگرایی بالا و متوسط مربع خطای ماندگار پایینی دارد.

شکل های (۵) و (۶) نتایج شبیه سازی با الگوریتم NLMS برای اندازه گام های مختلف و مقایسه آن با الگوریتم تصویرافاین سریع را نشان می دهند. در این الگوریتم نیز همانند الگوریتم LMS، عملکرد این فیلتر برای ورودی نویز سفید و رنگی بررسی شده است. همان طور که از نتایج مشخص است، این الگوریتم علاوه بر اینکه سرعت همگرایی بالاتری بویژه هنگام ورودی نویز رنگی نسبت به الگوریتم LMS دارد، خطای ماندگار بالایی نیز ندارد. با افزایش اندازه گام، سرعت همگرایی و خطای ماندگار الگوریتم افزایش می یابد. مقایسه منحنی های یادگیری الگوریتم NLMS با الگوریتم تصویرافاین سریع نشان می دهد که الگوریتم ارائه شده حتی با یک پیگیری تطبیقی، سرعت همگرایی بالا و خطای ماندگار کمتری می باشد.

شکل های (۷) و (۸) نتایج شبیه سازی با الگوریتم AP و مقایسه آن با الگوریتم تصویرافاین سریع با یک پیگیری تطبیقی را برای ورودی های نویز سفید و رنگی نشان می دهد. در این نتایج، اندازه گام را ثابت در نظر گرفتیم و پارامتر دیگری به نام درجه الگوریتم AP، را تغییر دادیم [۱۶]. با افزایش درجه الگوریتم AP، علاوه بر افزایش سرعت همگرایی خطای ماندگار نیز افزایش می یابد. در شکل (۸)، سرعت همگرایی الگوریتم تصویرافاین سریع با یک پیگیری تطبیقی کمتر از الگوریتم AP با $(K=4)$ است، در مقابل خطای ماندگار الگوریتم AP در مقایسه با الگوریتم تصویرافاین سریع، بیشتر است. همان طور که در ادامه شبیه سازی ها نشان داده خواهد شد (شکل ۱۱)، با افزایش تعداد پیگیری های تطبیقی می توان سرعت همگرایی الگوریتم تصویرافاین سریع را افزایش داد.

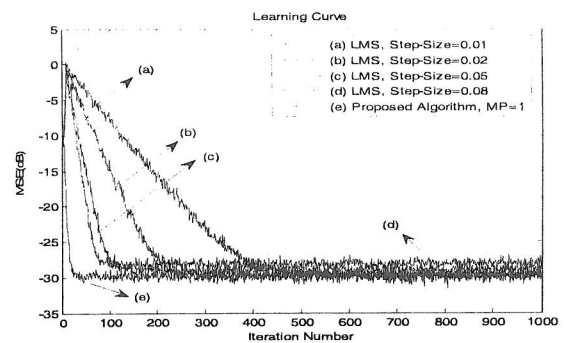
شکل های (۹) و (۱۰) نتایج شبیه سازی توسط الگوریتم RLS را برای ورودی های نویز سفید و رنگی و مقایسه آن با الگوریتم تصویرافاین سریع را نشان می دهد. همان طور که نتایج نشان می دهد الگوریتم RLS سرعت همگرایی بالا و نیز خطای ماندگار کمی دارد. برای ورودی نویز سفید، الگوریتم های RLS و تصویرافاین سریع عملکرد مشابهی دارند و برای ورودی

نویز رنگی، الگوریتم RLS سرعت همگرایی بالاتری دارد. همان طور که شکل‌های (۱۰) و (۱۱) نشان می‌دهند با افزایش تعداد پیگیری‌های تطبیقی، می‌توان به عملکردی قابل مقایسه با الگوریتم RLS نزدیک شد.

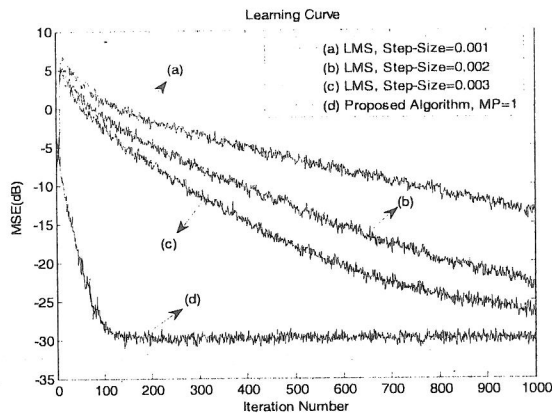
منحنی تغییرات ضرایب فیلتر در الگوریتم تصویرافاین سریع در شکل‌های (۱۲) تا (۱۵) و برای ورودی‌های نویز سفید و رنگی و با تعداد تکرار پیگیری‌های تطبیقی مختلف نمایش داده شده است. همان طور که مشخص است با افزایش تعداد پیگیری‌های تطبیقی، سرعت همگرایی وزن‌ها به مقادیر نهایی افزایش می‌یابد. نتایج تئوری منحنی یادگیری الگوریتم تصویر افاین سریع با رابطه بازگشتی (۵۴) در شکل‌های (۱۶) و (۱۷) نشان داده شده است. همانطور که از نتایج پیداست توافق نتایج شبیه سازی با نتایج تئوری، سازگاری قابل قبولی دارند.

۶- نتیجه گیری

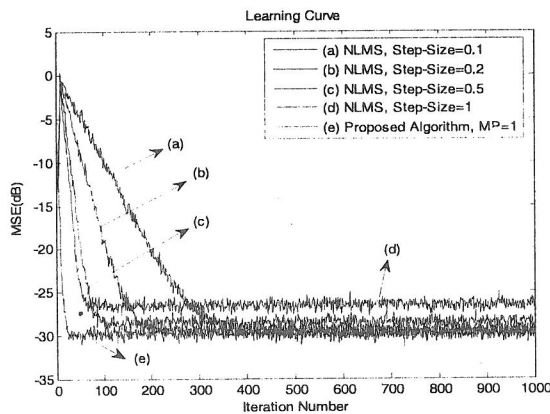
در این مقاله، الگوریتم جدیدی بر پایه الگوریتم پیگیری تطبیقی بانام الگوریتم تصویرافاین سریع ارائه شد. در این الگوریتم در هر تکرار، یکی از ضرایب فیلتر به صورت بهینه انتخاب و اصلاح می‌شود. یکی دیگر از مشخصه‌های این الگوریتم آن است که در هر لحظه می‌توان پیگیری تطبیقی را یک بار یا بیشتر تکرار کرد. بنابراین، می‌توان بین سرعت همگرایی و پیچیدگی محاسبات تعادل برقرار کرد. این الگوریتم سرعت همگرایی و توانایی ردیابی بالا دارد و همان طور که در نتایج شبیه سازی نشان داده شد، عملکردی قابل مقایسه با الگوریتم حداقل مربعات بازگشتی را نیز داراست. عملکرد الگوریتم ارائه شده در حالت گذرا و ماندگار بر پایه رابطه بقای انرژی بررسی شد و یک رابطه جامع برای مقدار خطای ماندگار در این الگوریتم ارائه شد. پیچیدگی محاسبات این الگوریتم به طور کامل بررسی گردید و به طور بهینه توسعه داده شد. همان طور که نشان داده شد، می‌توان بین پیچیدگی محاسبات و سرعت همگرایی، تعادل مناسبی برقرار کرد.



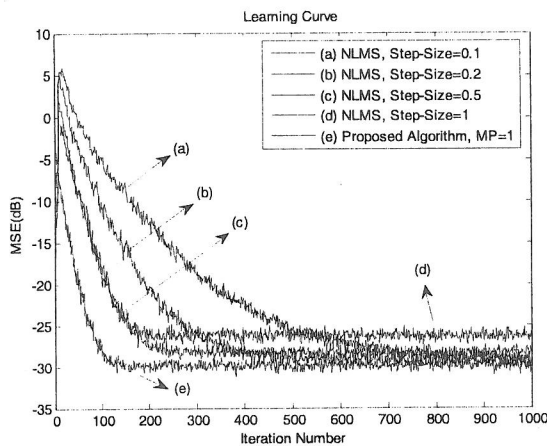
شکل (۳): مقایسه منحنی یادگیری الگوریتم LMS برای اندازه گام‌های مختلف و الگوریتم تصویرافاین سریع (ورودی: نویز سفید)



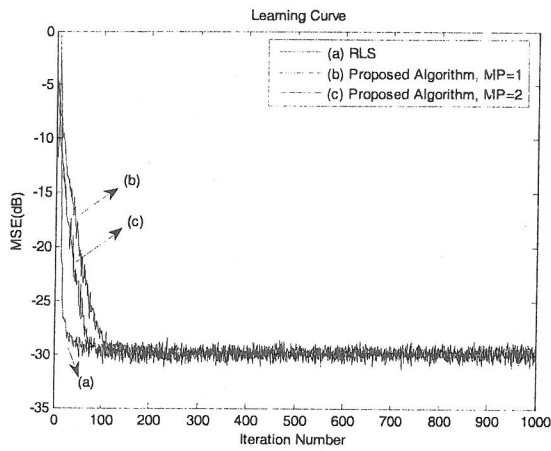
شکل (۴): مقایسه منحنی یادگیری الگوریتم LMS برای اندازه گام‌های مختلف و الگوریتم تصویرافاین سریع (ورودی: نویز گوسی رنگی)



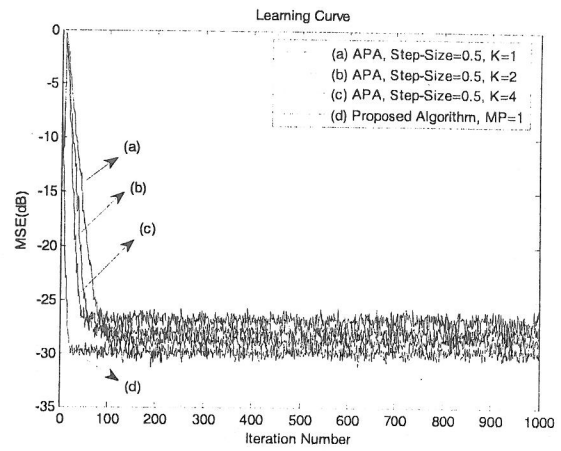
شکل (۵): مقایسه منحنی یادگیری الگوریتم NLMS برای اندازه گام‌های مختلف و الگوریتم تصویرافاین سریع (ورودی: نویز گوسی سفید)



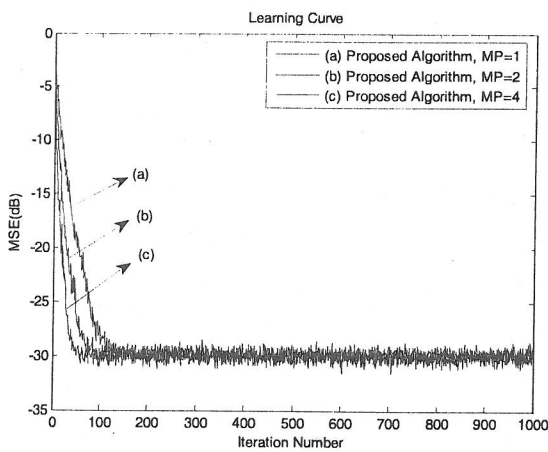
شکل (۶): مقایسه منحنی یادگیری الگوریتم NLMS برای اندازه گام‌های مختلف و الگوریتم تصویرافاین سریع (ورودی: نویز گوسی رنگی)



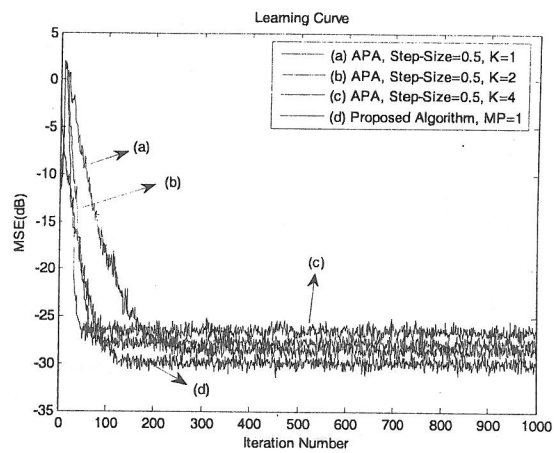
شکل (۱۰): مقایسه منحنی یادگیری الگوریتم RLS و الگوریتم تصویرافاین سریع (ورودی: نویز گوسی رنگی)



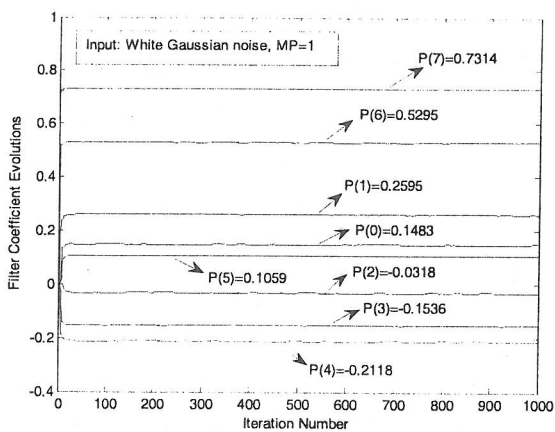
شکل (۷): مقایسه منحنی یادگیری الگوریتم AP برای K های مختلف و الگوریتم تصویرافاین سریع (ورودی: نویز گوسی سفید)



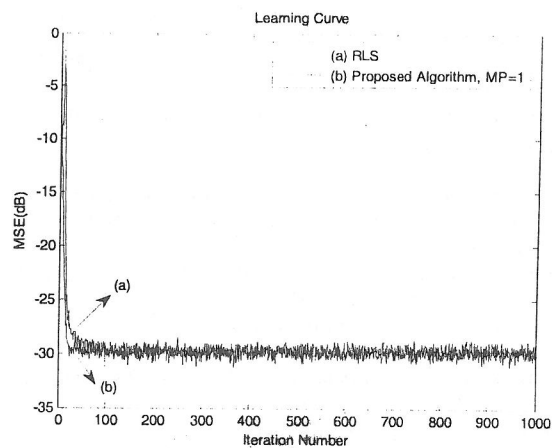
شکل (۱۱): منحنی یادگیری الگوریتم تصویرافاین سریع با پیگیریهای تطبیقی مختلف (ورودی: نویز گوسی رنگی)



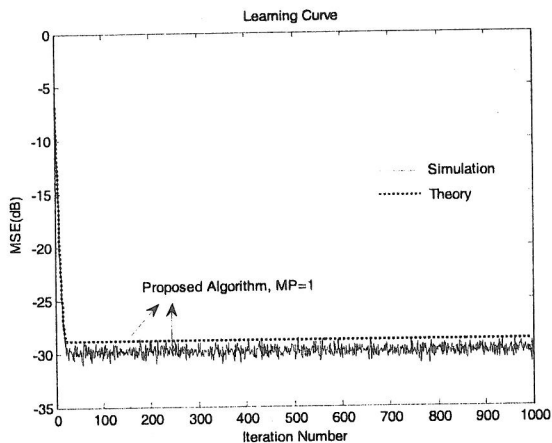
شکل (۸): مقایسه منحنی یادگیری الگوریتم AP برای K های مختلف و الگوریتم تصویرافاین سریع (ورودی: نویز گوسی رنگی)



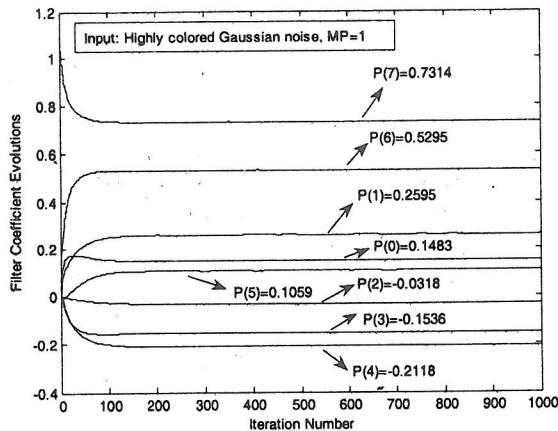
شکل (۱۲): منحنی رشد زمانی ضرایب الگوریتم تصویرافاین سریع برای یک پیگیری تطبیقی (ورودی: نویز گوسی سفید)



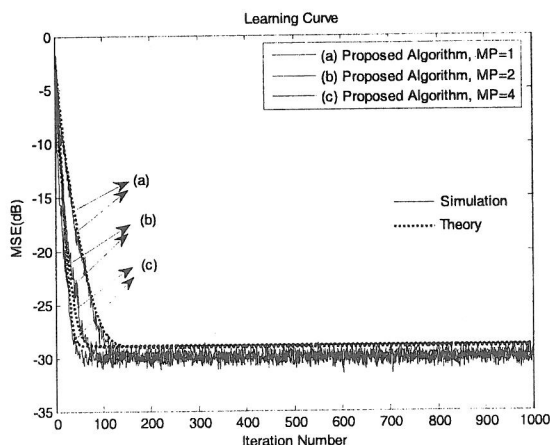
شکل (۹): مقایسه منحنی یادگیری الگوریتم RLS و الگوریتم تصویرافاین سریع (ورودی: نویز گوسی سفید)



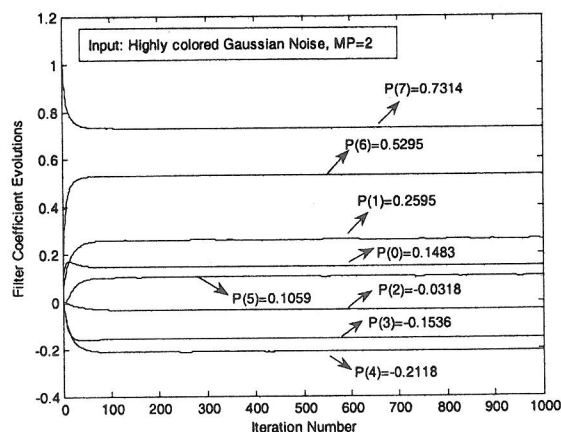
شکل (۱۳): منحنی رشد زمانی ضرایب الگوریتم تصویرافاین سریع در دو حالت شبیه سازی و تئوری (ورودی: نویز گوسی سفید)



شکل (۱۴): منحنی رشد زمانی ضرایب الگوریتم تصویرافاین سریع برای یک پیگیری تطبیقی (ورودی: نویز گوسی رنگی)



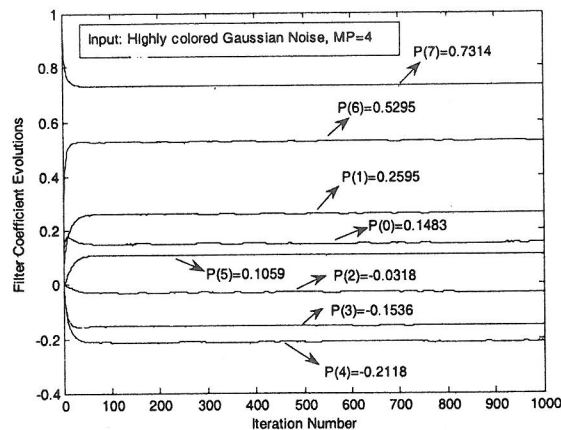
شکل (۱۶): منحنی یادگیری الگوریتم تصویرافاین سریع در دو حالت شبیه سازی و تئوری (ورودی: نویز گوسی رنگی)



شکل (۱۷): منحنی رشد زمانی ضرایب الگوریتم تصویرافاین سریع برای دو پیگیری تطبیقی (ورودی: نویز گوسی رنگی)

۷- مراجع

- [۱] Widrow, B.; Stearns, S. D.; *Adaptive Signal Processing*, Englewood Cliffs, NJ: Prentice-Hall, 1985.
- [۲] Treichler, J. R.; Johnson, C. R.; Larimore, M. G.; *Theory and Design of Adaptive Filters*, Wiley, 1987.
- [۳] Farhang-Broujeny, B.; *Adaptive Filters: Theory and Applications*, Wiley, 1998.
- [۴] Haykin, S.; *Adaptive Filter Theory*, 4th Edition, NJ: Prentice-Hall, 2002.
- [۵] Sayed, A. H.; *Fundamentals of Adaptive Filtering*, Wiley, 2003.
- [۶] Diniz, P. S. R.; *Adaptive Filtering: Algorithms and Practical Implementation*, 2nd Edition, Kluwer, 2002.
- [۷] Widrow, B.; Hoff, M. H.; "Adaptive switching circuits", Proc. IRE WESCON Conv. Rec, p.p. 96-104, 1960.
- [۸] Nagumo, J.; Noda, A.; "A learning method for system identification", IEEE Trans. Automat. Contr, vol. 12 p.p. 282-287, 1967.
- [۹] Albert, A. E.; Gardner, L. S.; *Stochastic Approximation and nonlinear Regression*, MIT Press, 1967.



شکل (۱۸): منحنی رشد زمانی ضرایب الگوریتم تصویرافاین سریع برای چهار پیگیری تطبیقی (ورودی: نویز گوسی رنگی)

Al-Naffouri, T. Y.; Sayed, A. H.; "Transient analysis of data-normalized adaptive filters", IEEE Trans. Signal Processing, vol. 51, p.p. 639-652, 2003. [۲۷]

Husøy, J. H.; Abadi, M. S. E.; "Transient analysis of adaptive filters using a general framework", Automatika, Journal for control, Measurement, Electronics, Computing and Communications, vol. 45, p.p. 121-127, 2004. [۲۸]

۸- زیرنویس ها

- ۱ Adaptive Filters
- ۲ Channel Equalizer
- ۳ Echo Cancellation
- ۴ Noise Cancellation
- ۵ Signal Enhancement
- ۶ System Identification
- ۷ Linear Predictor
- ۸ Real Time
- ۹ Least Mean Squares (LMS)
- ۱۰ Normalized Least Mean Squares (NLMS)
- ۱۱ Recursive Least Squares (RLS)
- ۱۲ Affine Projection (AP)
- ۱۳ Wiener-Hopf
- ۱۴ Stochastic Gradient
- ۱۵ Steepest Descent
- ۱۶ Underlying Signal Statistics
- ۱۷ Autocorrelation
- ۱۸ Cross-Correlation
- ۱۹ Computational Complexity
- ۲۰ Convergence Rate
- ۲۱ Matching Pursuit (MP)
- ۲۲ A Priori Estimation Error
- ۲۳ Independence Assumptions
- ۲۴ Weighted Euclidean Norm
- ۲۵ Independent and Identically Distributed
- ۲۶ Excess Mean Square Error (EMSE)
- ۲۷ Mean Square Error (MSE)
- ۲۸ Mean Square Coefficient Deviation (MSD)

Bitmead, R. R.; Anderson, B. D. O.; "Performance of adaptive estimation algorithms in dependent random environments", IEEE Trans. Automat. Contr., vol. 25 p.p. 788-794, 1980. [۱۰]

Ozeki, K.; Umeda, T.; "An adaptive filtering algorithm using an orthogonal projection to an affine subspace and its properties", Electron. Commun. Jpn, vol. 67-A, p.p. 19-27, 1984. [۱۱]

Kratzer, S. G.; Morgan, D. R.; "The partial-rank algorithm for adaptive beamforming", Proc. SPIE, vol. 564, p.p. 9-14 1985. [۱۲]

Morgan, D. R.; Kratzer, S. G.; "On a class computationally efficient, rapidly converging, generalized NLMS algorithm", IEEE Signal Processing Letters, vol. 3, p.p. 245-247, 1996. [۱۳]

Apolinario, J.; Campos, M. L.; Diniz, P. S. R.; "Convergence analysis of the binormalized data-reusing LMS algorithm", IEEE Trans. Signal Processing vol. 48, p.p. 3235-3242, 2000. [۱۴]

Shin, H. C.; Sayed, A. H.; "Transient behavior of affine projection algorithms", Proc. Int. Conf. Acoust. Speech, Signal Proc., Hong Kong, p.p. VI-353-356, 2003. [۱۵]

Shin, H. C.; Sayed, A. H.; "Mean square performance of a family of affine projection algorithms", IEEE Trans. Signal Processing, vol. 52, p.p. 90-102, 2004. [۱۶]

Abadi, M. S. E.; Husøy, J. H.; "A comparative study of some simplified RLS type algorithms", Proc. First International Symposium on Control, Communications and Signal Processing, Hammamet, Tunisia p.p. 705-708, 2004. [۱۷]

Abadi, M. S. E.; Husøy, J. H.; "Channel equalization using recursive adaptive matching pursuit algorithm", Proc. Iranian Conference on Electrical Engineering, Zanjan, Iran, p.p. 265-268, 2005. [۱۸]

Abadi, M. S. E.; Daneshvar, S.; Lotfizad, M.; Mahlooji Far, A.; "Recursive adaptive matching pursuit in noise cancellation for speech enhancement", Proc. The Second International Conference on Information and Knowledge Technology, Tehran, Iran, 2005. [۱۹]

Mallat, S. G.; Zhang, Z.; "Matching pursuits with time-frequency dictionaries", IEEE Trans. Signal Processing vol. 41, p.p. 3397-3415, 1993. [۲۰]

Cotter, S. F.; Adler, R.; Rao, B.; Kreutz-Delgado, K.; "Forward sequential algorithms for best basis selection", IEE Proceedings Vision, Image and Signal Processing, vol. 146, p.p. 235-244, 1999. [۲۱]

Sayed, A. H.; Rupp, M.; "A time-domain feedback analysis of adaptive algorithms via the small gain theorem", Proc. SPIE, p.p. 458-469, 1995. [۲۲]

Rupp, M.; Sayed, A. H.; "A time-domain feedback analysis of filtered-error adaptive gradient algorithms", IEEE Trans. Signal Processing, vol. 44, p.p. 1428-1439, 1996. [۲۳]

Yousef, N. R.; Sayed, A. H.; "A unified approach to the steady-state and tracking analyses of adaptive filtering algorithms", Proc. 4th IEEE-EURASIP Workshop on Nonlinear Signal and Image Processing, Antalya, Turkey, p.p. 699-703, 1999. [۲۴]

Yousef, N. R.; Sayed, A. H.; "Steady-state and tracking analyses of the sign algorithm without the explicit use of the independence assumptions", IEEE Signal Processing Letters, vol. 7, p.p. 307-309, 2000. [۲۵]

Yousef, N. R.; Sayed, A. H.; "A unified approach to steady-state and tracking analyses of adaptive filters", IEEE Trans. Signal Processing, vol. 49 p.p. 314-324, 2001. [۲۶]